

Накачка и сток энергии в КМ осуществляется либо через радиативные (R) или столкновительные (C) процессы, либо за счет химических процессов. В последнем случае образуется молекула в возбужденном состоянии или же разрушается молекула на нижнем сигнальном уровне в процессе химической реакции. Лабораторный пример такого рода — эксимерные лазеры на неустойчивых соединениях благородных газов He_2 или Xe_2 .

При R-стоке важно, чтобы кванты стока «2»—1 свободно выходили из мазерного источника, иначе возникнет термализация уровней (заселенность уровней будет стремиться к больцмановскому распределению, как в условиях ЛТР). Для мазера со столкновительной накачкой необходимо, чтобы накачка и сток энергии осуществлялись частицами с разными энергиями. Такие неравновесные условия возможны в ударных волнах, где температуры электронов и атомов (молекул) могут значительно отличаться.

4.9. Космические лучи и синхротронное излучение

Космическими лучами (КЛ) называют заряженные частицы высокой энергии (от 10^8 до $\sim 3 \cdot 10^{20}$ эВ), приходящие либо от Солнца ($E < 10^{10}$ эВ), либо из межзвездного пространства. Космические лучи были открыты австрийским физиком В. Гессом (*V. Hess*) в 1912 г. По своим физическим свойствам КЛ представляют собой сильно разреженный релятивистский газ, частицы которого практически не взаимодействуют друг с другом (энергетический спектр КЛ имеет не максвелловский, а степенной характер), но могут сталкиваться с частицами МЗС и взаимодействовать с межзвездным магнитным полем. В КЛ преобладают протоны, но имеются также электроны, альфа-частицы и ядра более тяжелых элементов с зарядом до $Z \sim 30$. Поток КЛ вблизи Земли сравнительно мал, около 1 частицы/(см²·с), однако плотность энергии $U_{cr} \sim 1$ эВ/см³ сравнима с плотностью суммарного ЭМ излучения звезд в Галактике, или с плотностью энергии теплового движения межзвездного газа и кинетической энергии его турбулентных движений, а также с плотностью энергии ($B^2/8\pi$) магнитного поля Галактики.

Энергетический спектр КЛ — степенной, нетепловой, имеет несколько характерных изломов, в среднем показатель спектра около 2 (точнее: $I \sim E^{-1.7}$, рис. 4.5). КЛ с энергией 10^{11} — 10^{16} эВ приходят с равной вероятностью с любого направления на небе (изотроп-

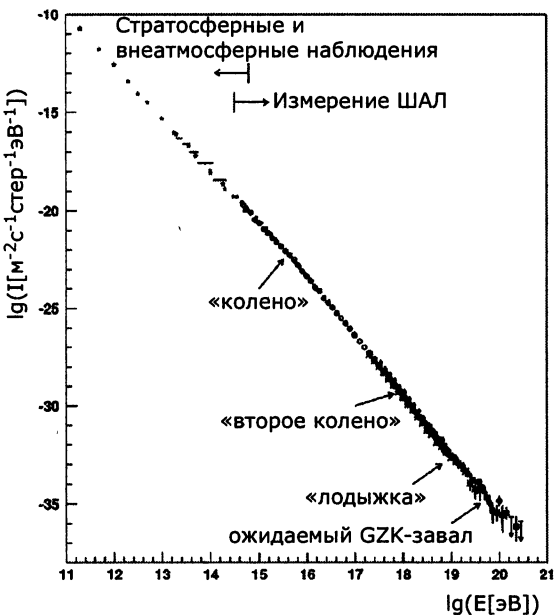


Рис. 4.5. Наблюдаемый энергетический спектр КЛ имеет степенной характер в диапазоне энергий от 10^{11} до 10^{20} эВ с небольшими изломами вблизи $10^{15.5}$ эВ («колено»), $10^{17.8}$ эВ («второе колено») и 10^{19} эВ («лодыжка»). Рисунок из обзора Nagano M., Watson A. A., Rev. Mod. Phys., 27, p.689 (2000).

но). Этот факт интерпретируется как свидетельство их галактического происхождения и удержания КЛ магнитным полем Галактики. Поток КЛ сверхвысоких энергий (выше 10^{18} эВ) крайне мал, около 1 частицы/($\text{км}^2 \cdot 100$ лет), однако происхождение КЛ сверхвысоких энергий представляет собой одну из нерешенных проблем современной астрономии и физики частиц.

КЛ взаимодействуют с протонами и ядрами межзвездного вещества, с излучением, а также с крупномасштабным магнитным полем. Рассмотрим эти три типа взаимодействия подробнее.

Взаимодействие КЛ с веществом осуществляется по каналу сильного взаимодействия. При попадании протона в ядро он взаимодействует не с ядром в целом, а с отдельными нуклонами ядра, т. к. длина волны де Броиля релятивистского протона с энергией $E > 100$ ГэВ много меньше размеров ядра, $\lambda_B = hc/E \approx 2 \cdot 10^{-15}$ см. При рассеянии на нуклонах ядра возникают вторичные нуклоны и

заряженные пионы, которые в свою очередь рождают частицы при соударениях с ядрами до тех пор, пока энергия, приходящаяся на одну частицу, не упадет ниже порога рождения пионов (около 1 ГэВ). В результате первоначальная энергия частицы КЛ переходит в энергию пионов, странных частиц, нуклонов и антинуклонов (т. н. процесс пионизации). Вторичные протоны при столкновениях теряют энергию на ионизацию и тормозятся до полной остановки. Нейтральные пионы распадаются на два гамма-кванта $\pi^0 \rightarrow 2\gamma$ за время $\approx 10^{-16}$ с. Заряженные пионы распадаются на мюоны и мюонное нейтрино, нейтрино уходят из Галактики, а заряженные мюоны образуют при распаде электроны, позитроны и нейтрино.

Среднее значение энергии гамма-квантов при распаде π^0 составляет около 70 МэВ. Полное значение сечения процесса взаимодействия КЛ с нуклонами, приводящего к фотораспаду нейтральных пионов, порядка геометрического сечения протона или ядра и составляет в среднем $\sigma_\gamma \approx 10^{-26}$ см². Этот процесс дает основной вклад в гамма-излучение Галактики с энергией выше 100 МэВ. На таких энергиях наблюдаемая яркость диффузного гамма-излучения непосредственно отражает распределение протонов и КЛ в Галактике. Излучение концентрируется к диску Галактики и в направлении на ее центр, указывая, следовательно, на те области Галактики, где наиболее интенсивно происходят взаимодействия протонов КЛ с ядрами молекулярного водорода. Таким образом, измерение интенсивности жесткого гамма-излучения позволяет определить распределение межзвездного газа, включая его труднообнаружимый компонент — молекулярный водород.

Взаимодействие КЛ с излучением осуществляется через обратное комптоновское рассеяние и при фотогорождении пионов и электрон-позитронных пар. Вселенная заполнена чернотельным реликтовым излучением с температурой $T = 2.73$ К и плотностью энергии ≈ 0.45 эВ/см³ (удивительным образом совпадающей с галактической плотностью энергией КЛ в околосолнечном пространстве). При движении заряженной релятивистской частицы (протона) с лоренц-фактором γ энергия кванта в системе отсчета протона $\epsilon' \approx \gamma\epsilon$, где ϵ — энергия фотона для покоящегося наблюдателя. Порог образования пионов фотонами составляет около 200 МэВ, поэтому реликтовые фотонны с энергией $\epsilon \simeq 6 \cdot 10^{-4}$ эВ способны рождать пионы, взаимодействуя с частицами, для которых $\gamma \geq 3 \cdot 10^{11}$ (т. е. с частицами с энергией выше $\sim 10^{20}$ эВ). Более строгое интегрирование

по функции Планка и по угловым переменным приводит к уменьшению оценки пороговой энергии до $5 \cdot 10^{19}$ эВ. Сечение реакции $\sigma_{p\pi} = 2.5 \cdot 10^{-28}$ см², поэтому в поле реликтовых фотонов с плотностью частиц $n_\gamma \approx 400$ см⁻³ длина свободного пробега протона относительно фоторождения пионов $l = 1/(N_\gamma \sigma_{p\pi}) \approx 10^{26}$ см ≈ 3 Мпк (время свободного пробега $l/c \approx 10^7$ лет). Поскольку рождается пийон с энергией $\gamma m_\pi c^2$, потери энергии при единичном столкновении с реликтовым фотоном составляют долю $m_\pi/m_p \approx 1/10$, а это значит, что после 10 столкновений (за 10^8 лет) такой протон потеряет большую часть энергии и уйдет под порог реакции. Следовательно, протоны сверхвысоких энергий не могут приходить с расстояний больших, чем 30–50 Мпк (Местное сверхскопление галактик). Рождение электрон-позитронных пар имеет на два порядка большее сечение, однако уносимая энергия в $m_\pi/m_e \approx 280$ раз меньше, и, в результате, процесс торможения быстрого протона за счет фоторождения пар в 6 раз менее эффективен, чем за счет фоторождения пионов. Эффект обрезания спектра КЛ сверхвысоких энергий в поле реликтовых фотонов носит названия эффекта *Грайзена–Зацепина–Кузьмина* (англ. «GZK-cutoff»), по имени авторов, указавших на его важность в середине 1960-х гг.

Взаимодействие КЛ с магнитным полем. На заряженную частицу в магнитном поле действует сила Лоренца, поэтому в общем случае частица будет двигаться по винтовой траектории. В однородном магнитном поле с индукцией (напряженностью) B радиус траектории частицы (гирорадиус, или ларморовский радиус) определяется напряженностью поля и импульсом частицы p . Для релятивистских частиц энергия и импульс связаны соотношением $E = pc$, и гирорадиус для частицы с зарядом Z

$$r_g = \frac{E}{ZeB} \approx 3 \cdot 10^{13} (\text{см}) \frac{1}{Z} \left(\frac{E}{10 \text{ ГэВ}} \right) \left(\frac{B}{10^{-6} \text{ Гс}} \right)^{-1}, \quad (4.14)$$

т. е. порядка нескольких астрономических единиц для характерного значения энергии частицы и напряженности крупномасштабного магнитного поля Галактики. Это означает, что на астрофизических масштабах, измеряемых парсеками и килопарсеками, движение частиц таких энергий можно считать происходящим вдоль направления поля (винтовая траектория частицы «наматывается» на силовую линию магнитного поля).

В запутанном магнитном поле траектория отдельной частицы КЛ похожа на броуновское блуждание, поэтому говорят о диффузном распространении космических лучей в Галактике. Однако для КЛ с энергиями $> 10^{17}$ эВ ларморовский радиус превосходит характерные размеры Галактики (10 кпк). Эти частицы «не чувствуют» магнитное поле Галактики (а внегалактическое крупномасштабное магнитное поле намного слабее галактического) и движутся практически по прямой от источника.

Синхротронное излучение. Наиболее существенно присутствие магнитного поля сказывается на электронной компоненте КЛ. При движении релятивистского электрона в магнитном поле возникает *синхротронное излучение*. В отличие от нерелятивистского электрона, магнитотормозное излучение которого происходит на нерелятивистской гирочастоте $\omega_g = 2\pi\nu_g = eB/(m_ec)$, один релятивистский электрон с энергией $E = \gamma m_ec^2$ излучает на многих частотах. Это можно понять из следующих качественных рассуждений. Из-за эффекта релятивистской aberrации излучение релятивистского электрона сосредоточено в узком конусе с углом раствора $\theta \sim 1/\gamma$ вокруг вектора мгновенной скорости. За один оборот электрона вокруг силовой линии с релятивистской гирочастотой ω_g/γ (ср. формулу (4.14)) наблюдатель увидит короткий импульс излучения длительностью $\Delta t \sim (\gamma/\omega_g)(1/\gamma)(1 - v/c)$. Здесь фактор $(1/\gamma)$ возникает из-за того, что наблюдатель видит излучение электрона только когда попадает в конус его излучения, а фактор $(1 - v/c)$, где v — скорость электрона, направленная на наблюдателя, учитывает уменьшение интервала времени от начала попадания наблюдателя в конус излучения электрона до выхода из него из-за уменьшения расстояния до наблюдателя за время Δt (классический эффект Доплера). При $v \approx c$ имеем: $1 - v/c = (1 - (v/c)^2)/(1 + v/c) \simeq 1/2\gamma^2$, поэтому $\Delta t \sim (\gamma^2\omega_g)^{-1}$. Из-за импульсного характера принимаемого излучения его Фурье-спектр содержит большой набор гармоник, так что формируется непрерывный спектр, являющийся функцией только отношения ω/ω_c . Максимум спектра находится вблизи частоты

$$\nu_c \sim 1/(\Delta t) \approx \nu_g \gamma^2 = \frac{\gamma^3 v}{2\pi r_g}, \quad (4.15)$$

где $v \approx c$ — скорость движения электрона по орбите с радиусом кривизны r_g . Отметим, что r_g можно считать мгновенным радиусом кривизны траектории, и для релятивистского электрона с большим

лоренц-фактором γ , движущемся практически вдоль силовой линии магнитного поля с околосветовой скоростью, возникает т. н. *изгибное излучение*, связанное с собственной крупномасштабной кривизной силовой линии радиуса R . Как видно из формулы (4.15), максимум в спектре изгибного излучения одного электрона приходится на частоту $\sim \gamma^3 c/R$. Это излучение особенно важно при движении релятивистских заряженных частиц в магнитосферах пульсаров —нейтронных звезд с магнитным полем $\sim 10^{12}$ Гс вблизи поверхности.

Синхротронное излучение — это проявление общего закона электродинамики, согласно которому любая ускоренно (замедленно) движущаяся заряженная частица рождает электромагнитные волны. Мощность синхротронного излучения одной частицы зависит от ускорения \vec{F}/m , сообщаемого ей полем. Поскольку протоны имеют массу на 3 порядка большую, чем электроны, их вклад в общее синхротронное излучение КЛ, как правило, пренебрежим.

Расчет показывает, что потери энергии релятивистского электрона на синхротронное излучение пропорциональны квадрату энергии (т. е. лоренц-фактора) частицы и плотности энергии магнитного поля $U_m = B^2/(8\pi)$:

$$-\left(\frac{dE}{dt}\right)_s = \frac{4}{3}\sigma_T c \gamma^2 U_m, \quad (4.16)$$

где σ_T — томсоновское сечение. Отметим сходство (вплоть до численного коэффициента) синхротронных (4.16) и комптоновских потерь (4.11) энергии релятивистским электроном. Это связано с тем, что в обоих случаях частица ускоряется электромагнитным полем — неважно, в постоянном магнитном поле или в суммарном поле отдельных фотонов. В формулы для некогерентного излучения входят квадраты амплитуды поля, поэтому складываются именно энергии.

Время торможения электрона в магнитном поле из-за синхротронных потерь

$$\tau_s \equiv \frac{E}{(dE/dt)_s} \approx 3 \cdot 10^{12} \text{ лет} \frac{1}{\gamma} \left(\frac{B}{10^{-6} \text{ Гс}} \right)^{-2}, \quad (4.17)$$

и для электронной компоненты КЛ с энергией 10^{11} эВ оказывается около 10^5 лет, что значительно меньше времени, требуемого для ухода из Галактики при диффузационном распространении. Это означает, что электроны КЛ с такими энергиями имеют внутригалактическое происхождение.

При степенном распределении релятивистских электронов по энергиям $dN/dE \sim E^{-\delta}$, часто встречающемся в астрофизических условиях, суммарный спектр синхротронного излучения также имеет степенной вид (см. задачи в конце главы):

$$I(\nu) \sim \nu^{-(\delta-1)/2}. \quad (4.18)$$

Другая характерная особенность синхротронного излучения — высокая степень линейной поляризации, достигающая в однородном магнитном поле значения $\Pi = (\delta+1)/(\delta+7/3)$. Направление линейной поляризации перпендикулярно проекции вектора напряженности магнитного поля **B** на картинную плоскость. Измерение направления плоскости поляризации нетеплового радиоизлучения используется для построения карты магнитных полей в галактиках.

4.9.1. Проблема происхождения и ускорения КЛ сверхвысоких энергий

КЛ должны, очевидно, ускоряться каким-либо нетепловым механизмом, т. к. температура даже в центрах самых массивных звезд не превышает нескольких десятков кэВ. По современным представлениям, наиболее вероятным механизмом ускорения электронной и протонной компоненты КЛ до высоких энергий является статистический механизм ускорения частиц на фронтах ударных волн, порожденных вспышками сверхновых в МЗС или выбросом вещества из активных ядер галактик. Суть этого механизма (предложенного Э. Ферми) состоит в том, что при многократных случайных столкновениях частицы с массивными облаками (точнее, при отражении заряженной частицы от «магнитных зеркал», связанных с локальным увеличением магнитного поля), движущимися с относительной скоростью $V \ll c$, энергия частицы после многих столкновений в среднем возрастает на величину $\langle \Delta E/E \rangle \approx 4(V/c)^2$ (т. н. ускорение Ферми 2-го рода). В результате формируется степенной спектр распределения частиц по энергиям. Механизм наиболее эффективен, когда преобладают лобовые столкновения, т. к. тогда при каждом столкновении относительное увеличение энергии частицы $\langle \Delta E/E \rangle \sim V/c$ (ускорение Ферми 1-го рода)⁶. Ускорение Ферми первого рода может происходить при многократном пересечении частицей фронта

⁶Из закона сохранения энергии-импульса сталкивающихся частиц следует, что при каждом столкновении частицы, движущейся со скоростью v , с бесконечно массивным «зеркалом», движущимся со скоростью V параллельно v , относительное уве-

ударной волны из-за рассеяния на неоднородностях магнитного поля перед и за фронтом ударной волны. Этот механизм ускорения КЛ на сильных ударных волнах подтверждается прямыми наблюдениями ТэВ-ногого нетеплового излучения от остатков сверхновых черенковскими телескопами Н.Е.С.С. в Намибии (2004).

Другой механизм ускорения — электромагнитный, когда заряженная частица ускоряется в электрическом поле. Статические электрические поля невозможны в плазме из-за ее высокой электропроводности — всякое отклонение от электронейтральности в плазме вызывает ток, экранирующий поле. Однако в нестационарных электромагнитных полях ускорение частиц возможно до очень высоких энергий. Например, в магнитосферах пульсаров магнитные поля достигают 10^{12} Гс у поверхности. Даже при минимально возможных периодах вращения нейтронных звезд $P = 10^{-3}$ с граница волновой зоны, где при данном периоде вращения достигается скорость вращения равная c , и в которой может происходить ускорение заряженных частиц, $L = cP/2\pi \sim 100$ км. Электрическое поле, вызванное максимально быстро изменяющимся магнитным полем, находится из уравнения Максвелла $\text{rot} \vec{E} = 1/c(\partial \vec{B}/\partial t)$. Учитывая, что $\text{rot} E \sim \frac{E}{L}, \frac{\partial B}{\partial t} \sim B/(L/c)$, получаем, что $E \sim B$.

Заряженная частица может приобретать внутри волновой зоны энергию $E_{max} = \int eEdx \sim eBL \approx 3 \cdot 10^{19}$ эВ для типичного значения поля у поверхности быстро вращающейся нейтронной звезды 10^{10} Гс.

Таким образом, проблемы с принципиальной возможностью ускорения частиц до очень высоких энергий не возникает. Однако, как показывают некоторые эксперименты, спектр КЛ сверхвысоких энергий не испытывает ожидаемого «завала» на энергиях $5 \cdot 10^{19}$ эВ, связанного со взаимодействием заряженных частиц с фотонами рентгенового излучения. При этом наблюдаемые КЛ на этих энергиях приходят изотропно со всех направлений (нет концентрации к плоскости Галактики и к ее центру) и достоверно не ассоциируются ни с одним из известных астрономических объектов внутри этой достаточно хорошо изученной области. Поэтому проблема происхожде-

личение энергии частицы $\Delta E/E = 2\gamma_3^2(V/c)((V/c) \pm v/c)$, где $\gamma_3 = 1/\sqrt{1 - (V/c)^2}$ — лоренци-фактор «зеркала», знак плюс соответствует столкновениям «в лоб», а минус — «вдогонку». При ускорении 2-го рода линейный член $\sim V/c$ компенсируется столкновениями «в лоб» и «вдогонку»; при ускорении 1-го рода столкновений «вдогонку» нет, поэтому $\Delta E/E \sim V/c$.

ния КЛ с энергией выше $5 \cdot 10^{19}$ эВ остается одной из нерешенных в современной астрофизике космических лучей. Не исключено, что редкие частицы таких энергий не являются протонами.

4.10. Другие методы диагностики космической плазмы

Мера дисперсии. Плотность электронной компоненты ионизованной межзвездной среды может быть определена по запаздыванию импульсов радиоизлучения пульсаров на разных частотах (мера дисперсии), которое возникает из-за конечного показателя преломления межзвездной среды, содержащей заряженные частицы. Показатель преломления для радиоволн с частотой ω в плазме с концентрацией электронов n_e

$$n = \sqrt{1 - \frac{\omega_p^2}{\omega^2}} < 1, \quad (4.19)$$

где плазменная (ленгмюровская) частота свободных колебаний электронов в поле ионов

$$\omega_p = \sqrt{\frac{4\pi e^2 n_e}{m_e}} \approx 5.64 \cdot 10^4 \sqrt{n_e}. \quad (4.20)$$

Фазовая скорость распространения электромагнитной волны с частотой ω есть $v_\phi = c/n$, где c — скорость света, а групповая скорость — $v_g = cn$. Излучение пульсаров немonoхроматическое, значит на разных частотах время прихода импульсов с расстояния l будет различным. При $\omega_p^2 \ll \omega^2$ имеем: $t = \frac{l}{v_g} = \frac{l}{cn} \simeq \frac{l}{c} \left(1 + \frac{1}{2} \left(\frac{\omega_p}{\omega}\right)^2\right)$, откуда время запаздывания низкочастотного сигнала в однородной среде

$$\Delta t(\omega) = \frac{1}{2} \frac{l}{c} \frac{\omega_p^2}{\omega^2} = \frac{2\pi e^2}{m_e c} \frac{n_e l}{\omega^2}, \quad (4.21)$$

т. е. при данном значении ω запаздывание пропорционально величине меры дисперсии — интегралу от электронной концентрации вдоль луча зрения:

$$DM = \int n_e dl. \quad (4.22)$$

Обычно для пульсаров $10 < DM < 500$ пк/см³. В общем случае

$$\Delta t_{1,2} = \int \left(\frac{dl}{v_g(\omega_1)} - \frac{dl}{v_g(\omega_2)} \right) \approx 4.6(\text{мкс})(\lambda_1^2 - \lambda_2^2) \cdot DM, \quad (4.23)$$